

Universidade Federal do Paraná

Newton Modificado usando Busca Linear Inexata

Aluno: Fillipe Rafael Bianek Pierin

Orientador: Prof. Abel Soares Siqueira

Curitiba

18 de dezembro de 2018

Sumário

1	Introdução	1
2	Decomposição de Cholesky	1
2.1	Fatoração LDL^T	3
2.2	Decomposição GG^T	6
2.3	Pseudocódigo da Decomposição de Cholesky	7
3	Newton	7
3.1	Pseudocódigo do método de Newton	9
3.2	Busca Linear Inexata: Condição de Armijo com <i>backtracking</i>	9
4	Newton Modificado	10
5	Comparação entre Algoritmos	12
6	Conclusão	15
	Referências	16

1 Introdução

A otimização é uma vertente da matemática para resolução de problemas, onde buscamos encontrar uma opção menos custosa dentre as disponíveis. Essa opção é chamada de minimizadores de uma função objetivo do problema em que se esteja analisando. Problemas de otimização podem ou não possuir restrições.

O problema de minimização irrestrita consiste em

$$\min_x f(x), \quad (1)$$

em que $f : \mathbb{R}^n \rightarrow \mathbb{R}$, com $f \in C^2$.

Uma das estratégias mais comuns de resolução deste problema são os métodos de busca linear, que consistem em determinar uma direção sobre a qual o valor de função decresce, e escolher um tamanho de passo que determine o quanto andamos nesta direção. O método de Newton consiste em escolher a direção que minimiza uma aproximação quadrática da função. Dentre as maneiras de escolher o tamanho do passo, a busca de Armijo é uma das mais conhecidas.

O objetivo deste trabalho é entendermos o método de Newton, a busca linear inexata de Armijo e os motivos que levam a fazer mudanças no método de Newton para resolver diferentes tipos de problemas, isso problemas irrestritos. Em seguida, fazemos a comparação do método de Newton Modificado com busca de Armijo com outros métodos:

- Newton sem busca vs Newton Modificado com busca;
- Newton Modificado vs BFGS ambos com busca de Armijo;
- Newton Modificado com busca e diferentes estratégias de atualização.

Este trabalho está organizado da seguinte maneira. No capítulo 2, apresentamos a teoria da decomposição de Cholesky, que será usada em outros capítulos para verificar se a matriz Hessiana é definida positiva. No capítulo 3, explicamos o método de Newton e alguns aspectos teóricos do mesmo. No capítulo 4, apresentamos o método de Newton modificado, onde se modifica a Hessiana $\nabla^2 f(x)$ de forma a obter uma matriz definida positiva. No capítulo 5 fazemos a comparação entre o Método de Newton Modificado e outros métodos de otimização irrestrita.

Para a implementação dos algoritmos e a posterior comparação, através do gráfico Perfil de Desempenho, utilizamos a linguagem de programação Julia versão 0.6.2.

2 Decomposição de Cholesky

A decomposição de Cholesky é uma decomposição de uma matriz definida positiva no produto de uma matriz triangular inferior e sua matriz transposta. Ou seja, podemos decompor A em G e G^T . Essa decomposição é também usada para verificar se uma matriz é definida positiva. Usamos no estudo da decomposição de Cholesky as referências (GOLUB; LOAN, 2012), (TSUMURA, 2017), (RUGGIERO; LOPES, 1997) e (WATKINS, 2004).

Mostramos algumas definições e teoremas importantes que usamos na demonstração da decomposição de Cholesky. Em seguida provamos a decomposição em si.

Definição 1 A matriz A é simétrica se $A^T = A$.

Definição 2 A matriz A é dita simétrica definida positiva, se

$$x^T A x > 0, \quad \forall \quad x \in \mathbb{R}^n \setminus \{0\}.$$

Teorema 1 Se a matriz A é simétrica definida positiva então seus autovalores são positivos.

Demonstração: Sejam λ um autovalor real de A e x seu respectivo autovetor. Isto é, tem-se que

$$Ax = \lambda x.$$

Então, multiplicando por x^T no lado esquerdo, obtém-se

$$\begin{aligned} x^T A x &= \lambda x^T x \\ &= \lambda \|x\|^2. \end{aligned}$$

O lado esquerdo é positivo, pois a matriz A é definida positiva e x um vetor não nulo (pois, x é um autovetor). Seque que, como $\|x\|^2$ é positivo, deve-se ter que λ é positivo. Logo, todo autovalor λ de A é positivo. \square

Definição 3 (Ortogonal) Uma matriz $Q \in \mathbb{R}^{n \times n}$ é dita ortogonal quando $Q^{-1} = Q^T$.

Teorema 2 Se os autovalores de uma matriz A simétrica real são positivos, então A é definida positiva.

Demonstração: Note que uma matriz simétrica real é diagonalizável por uma matriz ortogonal. Então, existe uma matriz ortogonal Q tal que $Q^T A Q = D$, onde D é uma matriz diagonal onde as entradas da diagonal principal são os autovalores λ_i de A , que por hipótese são positivos.

Seja x um vetor arbitrário não nulo em \mathbb{R}^n . Segue que, como $A = Q D Q^T$ tem-se que

$$x^T A x = x^T Q D Q^T x.$$

Tomando $y = Q^T x$, escreve-se a equação anterior como

$$x^T A x = y^T D y.$$

então, encontra-se que

$$\begin{aligned} x^T A x &= y^T D y \\ &= \begin{bmatrix} y_1 & y_2 & \cdots & y_n \end{bmatrix} \begin{bmatrix} \lambda_1 & 0 & 0 & 0 \\ 0 & \lambda_2 & 0 & 0 \\ \vdots & \dots & \ddots & \vdots \\ 0 & 0 & \dots & \lambda_n \end{bmatrix} \begin{bmatrix} y_1 \\ y_2 \\ \vdots \\ y_n \end{bmatrix} \\ &= \lambda_1 y_1^2 + \lambda_2 y_2^2 + \cdots + \lambda_n y_n^2 > 0, \end{aligned}$$

logo, como x é um vetor não nulo e Q é invertível, então $y = Q^T x$ é vetor não nulo. Consequentemente, a soma da expressão acima é positiva, o que implica que $x^T A x$ é positivo.

Portanto, a matriz A é definida positiva. \square

2.1 Fatoração LDL^T

Primeiramente precisamos provar o Teorema que diz que a matriz A pode ser fatorada de forma única em duas matrizes L e U .

Teorema 3 *Seja A uma matriz quadrada de ordem n , e A_k o menor principal k . Assumimos que $\det(A_k) \neq 0$, para $k = 1, 2, \dots, n-1$. Então, existe uma única matriz triangular inferior L , com $l_{11}, l_{22}, \dots, l_{nn} = 1$, e uma única matriz triangular superior U , tal que $LU = A$.*

Demonstração: Prova-se usando indução.

1. (caso base): Prova-se que o teorema é verdadeiro para $n = 1$. Seja $A = [a_{11}]$. As únicas matrizes L e U que satisfazem são $L = [1]$ e $U = [a_{11}]$, que implica em $LU = a_{11}$.
2. (passo indutivo): $k-1 \mapsto k$. Prova-se que o teorema é verdadeiro para $n = k-1$, e o teorema será verdadeiro para $n = k$. Sejam A uma matriz, de ordem k , escrita da seguinte forma:

$$A = \begin{pmatrix} A_{k-1} & r \\ s & a_{kk} \end{pmatrix},$$

L_{k-1} e U_{k-1} a decomposição LU de A_{k-1} , e m, p e u_{kk} definidos por

$$\begin{cases} p &= L_{k-1}^{-1} r \\ m &= s U_{k-1}^{-1} \\ u_{kk} &= a_{kk} - mp \end{cases}.$$

Pela hipótese do teorema, existe a decomposição LU para A_{k-1} . De fato, definindo L e U da seguinte forma: $L = \begin{pmatrix} L_{k-1} & 0 \\ m & 1 \end{pmatrix}$; $U = \begin{pmatrix} U_{k-1} & p \\ 0 & u_{kk} \end{pmatrix}$, e fazendo LU , obtemos que

$$\begin{aligned} LU &= \begin{pmatrix} L_{k-1} & 0 \\ m & 1 \end{pmatrix} \begin{pmatrix} U_{k-1} & p \\ 0 & u_{kk} \end{pmatrix} \\ &= \begin{pmatrix} L_{k-1} U_{k-1} & L_{k-1} p \\ m U_{k-1} & mp + u_{kk} \end{pmatrix} \\ &= \begin{pmatrix} A_{k-1} & r \\ s & a_{kk} \end{pmatrix} \\ &= A. \end{aligned}$$

Logo, construímos a decomposição L e U da matriz A . E concluímos o passo indutivo.

Portanto, podemos ver que LU é a fatoração de A . □

Agora podemos fatorar LU em $LD\bar{U}$, pois pelo Teorema 3 temos que o determinante dos menores principais é diferente de zero, ou seja, $\det(A_k) \neq 0$, em que D é uma matriz diagonal de ordem n e $\bar{u}_{ij} = \frac{u_{ij}}{u_{ii}}$.

Considere $A = LD\bar{U}$ a decomposição LDU da matriz A simétrica definida positiva. Então,

$$A = A^T = (LD\bar{U})^T = \bar{U}^T D^T L^T = \bar{U}^T D L^T.$$

Como \bar{U}^T e L^T são matrizes unitárias triangular inferior e superior, respectivamente, obtemos duas decomposições $LD\bar{U}$ de A

$$A = \bar{U}^T D L^T$$

e

$$A = LD\bar{U}.$$

Então, $\bar{U}^T D L^T = LD\bar{U}$. Mostraremos agora que $\bar{U}^T = L$, ou seja, $\bar{u}_{ij} = l_{ji}$.

Teorema 4 *Sejam L_i (U_i) matrizes triangulares inferiores (superiores) com diagonal unitária, $i \in (1, 2)$, e D uma matriz diagonal, de tamanho $n \times n$. Então, temos que*

- (i) *a multiplicação de L_1 e L_2 (U_1 e U_2) é uma matriz triangular inferior (superior) com diagonal unitária;*
- (ii) *a multiplicação de L e D (U e D) é uma matriz triangular inferior (superior);*
- (iii) *a inversa de uma matriz L (U) é uma matriz triangular inferior (superior) com diagonal unitária.*

Demonstração: (i) Considere L_1 e L_2 duas matrizes triangulares inferiores com diagonal unitária. Sabe-se que uma matriz é triangular inferior se e somente se $L_{ij} = 0$ para todo $i < j$. Se $W = L_1 L_2$, então

$$\begin{aligned} W_{ij} &= \sum_{k=1}^n L_{1ik} L_{2kj}, \text{ por definição} \\ &= \sum_{j \leq k \leq i} L_{1ik} L_{2kj}, \text{ pois } L_1 \text{ e } L_2 \text{ são triangulares inferiores.} \end{aligned}$$

Logo, se $i < j$, não existe índices k com $j < k < i$ tal que $W_{ij} \neq 0$. Agora, consideramos o caso em que $i = j$. Logo,

$$\begin{aligned} W_{ii} &= \sum_{k=1}^n L_{1ik} L_{2ki}, \text{ por definição} \\ &= L_{1ii} L_{2ii} \\ &= 1. \end{aligned}$$

Portanto, W é uma matriz triangular inferior com diagonal unitária. (ii) Seja D uma matriz diagonal e L uma matriz triangular inferior. Se $V = LD$, então

$$\begin{aligned} V_{ij} &= \sum_{k=1}^n L_{ik} D_{kj}, \text{ por definição} \\ &= \sum_{j \leq k \leq i} L_{ik} D_{kj}, \text{ pois } L \text{ é triangular inferior e } D \text{ é diagonal} \\ &= L_{ij} D_{jj}. \end{aligned}$$

Logo, se $i < j$ não há índice k com $j < k < i$ tal que $V_{ij} \neq 0$. Consideramos o caso em que $i = j$. Logo,

$$\begin{aligned} V_{ii} &= \sum_{k=1}^n L_{ik} D_{ki}, \text{ por definição} \\ &= L_{ii} D_{ii}. \end{aligned}$$

Portanto, V é uma matriz triangular inferior.

(iii) Assuma que L é uma matriz triangular inferior com diagonal unitária e L^{-1} sua respectiva inversa.

Primeiro mostra-se que L não tem zeros na diagonal principal. Considere por absurdo que $L_{ii} = 0$, e que i é o maior valor com essa propriedade. Consequentemente $Lx = e_i$ não tem solução, pois por substituição temos que $x_n = \dots = x_{i+1} = 0$ e $L_{ii}x_i = 1$ não possui solução. Logo, conclui-se que L não pode ter zeros na diagonal principal.

Agora, assuma por absurdo que $L_{ij}^{-1} \neq 0$, para algum $i < j$. Tomando o menor valor de i com $L_{ij}^{-1} \neq 0$, com j fixo. Logo, obtemos que

$$0 = I_{ij} = \sum_{k \leq j} L_{kj} L_{ik}^{-1} = L_{ii} L_{ij}^{-1}.$$

Como $L_{ii} \neq 0$, tem-se que $L_{ij}^{-1} \neq 0$.

Considerando $i = j$, temos

$$0 = I_{ii} = L_{ii} L_{ii}^{-1} = 1,$$

pois L é uma matriz triangular inferior com diagonal unitária.

Portanto, L_{ij}^{-1} é uma matriz triangular inferior.

Analogamente, podemos mostrar os itens acima para matrizes triangulares superiores com diagonal unitária. \square

Voltando,

$$\bar{U}^T D L^T = L D \bar{U},$$

$$L^{-1} \bar{U}^T D L^T = D \bar{U}$$

e

$$L^{-1} \bar{U}^T D = D \bar{U} (L^T)^{-1}. \quad (2)$$

Pelo Teorema 4, sabemos que $L^{-1} \bar{U}^T$ é uma matriz triangular inferior, $\bar{U} (L^T)^{-1}$ é uma matriz triangular superior. Consequentemente, temos também pelo Teorema 4 que $L^{-1} \bar{U}^T D$ e $D \bar{U} (L^T)^{-1}$ são triangular inferior e superior, respectivamente. Desse modo, para que a igualdade (2) seja verdadeira, ou seja, para que uma matriz triangular inferior seja igual a uma matriz triangular superior, precisamos que as duas matrizes sejam diagonais. Logo, $L^{-1} \bar{U}^T$ é diagonal unitária, ou seja, a matriz I . Portanto,

$$L^{-1} \bar{U}^T = I,$$

e

$$\bar{U}^T = L.$$

Assim, como A é simétrica concluímos que $A = LD\bar{U} = LDL^T$.

Em resumo:

$$\begin{aligned} A &= LU \text{ (pelo Teorema 3)} \\ &= LD\bar{U} \text{ (pois, } \det(A_k) \neq 0) \\ &= LDL^T \text{ (pois, } A \text{ é simétrica).} \end{aligned}$$

2.2 Decomposição GG^T

A partir da decomposição LDU da matriz A obtemos a decomposição de Cholesky.

$$\begin{aligned} A &= LDL^T = L\bar{D}\bar{D}L^T \text{ (pois, } A \text{ é definida positiva e } D \text{ é diagonal)} \\ &= L\bar{D}(L\bar{D})^T \text{ (pois, } D \text{ é diagonal } \Rightarrow D^T = D) \\ &= GG^T. \end{aligned}$$

onde $\bar{d}_{ii} = \sqrt{d_{ii}}$.

Teorema 5 *Seja $A \in \mathbb{R}^{n \times n}$ uma matriz invertível admitindo uma decomposição de Cholesky $A = GG^T$. Então, A é definida positiva se, e somente se, tem decomposição de Cholesky.*

Demonstração:

(\Rightarrow) A demonstração do fato de A ser definida positiva implica em A ter decomposição de Cholesky veem do Teorema 3 juntamente com a decomposição em da matriz A em GG^T demonstrado anteriormente.

(\Rightarrow) Considere que a matriz A tem decomposição de Cholesky, isto é, $A = GG^T$, mostraremos que A é definida positiva. Por outro lado, se $x \in \mathbb{R}^n \setminus \{0\}$, então

$$x^T Ax = x^T GG^T x = (G^T x)^T G^T x = \|G^T x\|_2^2.$$

Como a matriz A é assumido como invertível, então a matriz G e também a matriz G^T são invertíveis. Segue disso, que $0 \neq \det(A) = \det(GG^T) = \det(G)^2$. Desde que $x \neq 0$, implica que também $G^T x \neq 0$, e conseqüentemente $\|G^T x\|_2^2 > 0$, provando que a matriz A é definida positiva. \square

Em termos matemáticos, se $a_{ij} \in \mathbb{R}$ e $l_{ij} \in \mathbb{R}$, $i, j \in \{1, 2, \dots, n\}$, então

$$\begin{aligned}
 A = GG^T &= \begin{bmatrix} g_{11} & 0 & 0 & 0 & 0 \\ g_{21} & g_{22} & 0 & 0 & 0 \\ g_{31} & g_{32} & g_{33} & \dots & 0 \\ \vdots & \vdots & \vdots & \ddots & \vdots \\ g_{n1} & g_{n2} & g_{n3} & g_{n4} & g_{nn} \end{bmatrix} \begin{bmatrix} g_{11} & g_{21} & g_{31} & \dots & g_{n1} \\ 0 & g_{22} & g_{32} & \dots & g_{n2} \\ 0 & 0 & g_{33} & \dots & g_{n3} \\ 0 & 0 & 0 & \ddots & \vdots \\ 0 & 0 & 0 & 0 & g_{nn} \end{bmatrix} \\
 &= \begin{bmatrix} g_{11}^2 & g_{11}g_{21} & g_{11}g_{31} & \dots & g_{11}g_{n1} \\ g_{21}g_{11} & g_{21}^2 + g_{22}^2 & g_{21}g_{31} + g_{22}g_{32} & \dots & g_{21}g_{n1} + g_{22}g_{n2} \\ g_{31}g_{11} & g_{31}g_{21} + g_{32}g_{22} & g_{31}^2 + g_{32}^2 + g_{33}^2 & \dots & g_{31}g_{n1} + g_{32}g_{n2} + g_{33}g_{n3} \\ \vdots & \vdots & \vdots & \ddots & \vdots \\ g_{n1}g_{11} & g_{n1}g_{21} + g_{n2}g_{22} & g_{n1}g_{31} + g_{n2}g_{32} + g_{n3}g_{33} & \dots & g_{n1}^2 + g_{n2}^2 + g_{n3}^2 + \dots + g_{nn}^2 \end{bmatrix}.
 \end{aligned}$$

Doravante, concluímos que

$$g_{ij} = \begin{cases} \frac{a_{ij} - \sum_{k=1}^{j-1} g_{ik}g_{jk}}{g_{jj}}, \text{ se } i \neq j \\ (a_{ii} - \sum_{k=1}^{j-1} g_{ik}^2)^{\frac{1}{2}}, \text{ se } i = j \end{cases}.$$

2.3 Pseudocódigo da Decomposição de Cholesky

Por último, nesta seção apresentamos o pseudocódigo da decomposição de Cholesky.

Algoritmo 1: Decomposição de Cholesky

Entrada: $A \in \mathbb{R}^{n \times n}$ simétrica e definida positiva

```

1 for  $k = 1, \dots, n$  do
2   soma = 0
3   for  $j = 1, \dots, (k-1)$  do
4     soma = soma +  $g_{kj}^2$ 
5   end
6    $r = a_{kk} - \text{soma}$ 
7    $g_{kk} = \sqrt{r}$ 
8   for  $i = (k+1), \dots, n$  do
9     soma = 0
10    for  $j = 1, \dots, (k-1)$  do
11      soma = soma +  $g_{ij}g_{kj}$ 
12    end
13     $g_{ik} = (a_{ik} - \text{soma}) / g_{kk}$ 
14  end
15 end

```

3 Newton

O método de Newton para o caso irrestrito é um método de otimização baseado na linearização da condição de otimalidade. Para o estudo do método e Newton utilizamos as seguintes referências: (ATTUX; ZUBEN, 2017) e (RONCHI, 2017).

Seja $f : \mathbb{R}^n \rightarrow \mathbb{R}$, com $f \in C^2$. Este método resolve o problema de forma iterativa, aproximando a função $f(x)$ por uma função quadrática, que é minimizada. Considere a expansão de Taylor de 2º ordem de $f(x)$:

$$f(x^k + d^k) \cong f(x^k) + \underbrace{\nabla f(x^k)^T (x^{k+1} - x^k) + \frac{1}{2} (x^{k+1} - x^k)^T \nabla^2 f(x^k) (x^{k+1} - x^k)}_{Q(d^k)}, \quad (3)$$

onde $\nabla f(x^k)$ é o vetor gradiente, $\nabla^2 f(x^k)$ é a matriz Hessiana de $f(x)$ e $d^k = x^{k+1} - x^k$.

Daí, utilizamos a condição de linearidade de primeira ordem, isto é, minimizamos $f(x^{k+1}) = f(x^k + d^k)$ dado pela equação 3 ($\nabla Q(d^k) = 0$). Logo, obtemos que

$$\begin{aligned} \nabla Q(d^k) &= \nabla f(x^k) + \nabla^2 f(x^k)^T (x^{k+1} - x^k) = 0 \\ \nabla^2 f(x^k)^T (x^{k+1} - x^k) &= -\nabla f(x^k) \\ x^{k+1} - x^k &= -[\nabla^2 f(x^k)]^{-1} \nabla f(x^k) \\ x^{k+1} &= x^k - [\nabla^2 f(x^k)]^{-1} \nabla f(x^k), \end{aligned}$$

então temos o seguinte sistema:

$$\nabla^2 f(x^k) d^k = -\nabla f(x^k), \quad (4)$$

com $x^{k+1} = x^k + d^k$, que resolvemos para encontrar a direção d^k .

Com respeito ao sistema (4), podemos formalizar o método de Newton para minimizar uma função f . Considerando $x^{k+1} = x^k + t_k d^k$, para este método existem três variações:

- Newton “puro” (sem busca), onde fixa-se $t_k = 1, \forall k \in \mathbb{N}$;
- busca exata $t_k = \arg \min_t \{f(x^k + t_k d^k)\}$, no qual t_k será o valor ótimo numa otimização unidimensional;
- busca inexata, em que encontramos um valor aproximado para t_k usando a condição de Armijo.

3.1 Pseudocódigo do método de Newton

Agora apresentamos o algoritmo do método de Newton.

Algoritmo 2: MÉTODO DE NEWTON

Entrada: $x_0 \in \mathbb{R}$
Saída: $x^* = x^k$ ótimo

```

1 início
2   Faça  $k \leftarrow 0$ 
3   while  $\nabla f(x^k) \neq 0$  do
4     Defina  $d^k \leftarrow -(\nabla^2 f(x^k))^{-1} \nabla f(x^k)$ 
5     Determine o tamanho do passo  $t_k > 0$ 
6     Faça  $x^{k+1} \leftarrow x^k + t_k d^k$ 
7      $k \leftarrow k + 1$ 
8   end
9 fim
10 retorna  $x^* = x^k$  ótimo

```

Aqui discutimos as propriedades locais da ordem de convergência do método de Newton. Sabemos que para todo x na vizinhança da solução, x^* ótimo, tal que $\nabla^2 f(x^*)$ é definida positiva, temos que a $\nabla^2 f(x^k)$ também será definida positiva. Nesta vizinhança, o método de Newton está bem definido e converge quadraticamente, desde que os tamanhos dos passos t_k sejam igual a 1, a partir de certa iteração.

Teorema 6 *Seja $f : \mathbb{R}^n \rightarrow \mathbb{R}$, C^2 e $\nabla^2 f(x^k)$ definida positiva. Então, a direção d^k é de descida.*

Demonstração: Seja d^k resolvida pelo sistema (4) e $\nabla^2 f(x^k)$ definida positiva, ou seja, $x^T \nabla^2 f(x^k) x > 0, \forall x$. Então, temos que

$$\nabla f(x^k)^T d^k = -\nabla f(x^k)^T (\nabla^2 f(x^k))^{-1} \nabla f(x^k) < 0.$$

Portanto, d^k é uma direção de descida. □

Porém, nem sempre se consegue a convergência global, pois a direção d^k do método de Newton pode estar longe da solução. Então, utilizamos um controlador de passos com busca linear inexata, a condição de Armijo.

3.2 Busca Linear Inexata: Condição de Armijo com *backtracking*

Seja x^k e d^k dados, buscamos $t_k \in (0, 1]$ tal que

$$f(x^k + t_k d^k) < f(x^k) + \alpha_k t_k \nabla f(x^k)^T d^k,$$

onde $\alpha \in (0, 1)$ é o parâmetro de Armijo e $\sigma \in (0, 1)$ é o parâmetro de Backtracking.

Na busca através de *backtracking*, encontramos a menor potência $t_k = \sigma^p, p = 0, \dots, n$ que satisfaça a condição de Armijo, ou seja, testamos $t_k = 1, \sigma, \sigma^2, \sigma^3, \dots$ até encontrar o primeiro que satisfaça a condição de Armijo.

Teorema 7 *Considere uma função diferenciável $f : \mathbb{R}^n \rightarrow \mathbb{R}$, um ponto $x^k \in \mathbb{R}^n$, uma direção de descida $d^k \in \mathbb{R}^n$ e $\alpha \in (0, 1)$. Então existe $\beta > 0$ tal que*

$$f(x^k + t_k d^k) < f(x^k) + \alpha_k t_k \nabla f(x^k)^T d^k$$

para todo $t_k \in [0, \beta)$.

Demonstração: Caso $\nabla f(x^k)^T d^k = 0$, segue da definição de descida a desigualdade. Assuma que $\nabla f(x^k)^T d^k < 0$. Como $\alpha < 1$,

$$\lim_{t_k \rightarrow 0} \frac{f(x^k + t_k d^k) - f(x^k)}{t_k} = \nabla f(x^k)^T d^k < \alpha \nabla f(x^k)^T d^k$$

Logo, existe $\beta > 0$ tal que

$$\frac{f(x^k + t_k d^k) - f(x^k)}{t_k} < \alpha \nabla f(x^k)^T d^k$$

para todo $t_k \in [0, \beta)$. Assim,

$$f(x^k + t_k d^k) < f(x^k) + \alpha_k t_k \nabla f(x^k)^T d^k$$

□

Em seguida mostramos o algoritmo para implementação da busca linear inexata com *backtracking*, que é usado no método de Newton com busca de Armijo e no Newton modificado.

Algoritmo 3: BUSCA LINEAR INEXATA COM BACKTRACKING

```

1 Escolha  $\alpha, \sigma \in (0, 1)$ 
2 Faça  $t := \sigma$ 
3 while  $f(x^k + \alpha d^k) \geq f(x^k) + \alpha t \nabla f(x^k)^T d^k$  do
4   |  $t := t\sigma$ 
5 end
6 retorna  $t_k = t$ 

```

4 Newton Modificado

A busca inexata para Newton, Armijo com *backtracking*, visto na seção anterior só funciona se a matriz Hessiana $\nabla^2 f(x^k)$ for definida positiva (mostrado no Teorema 6). Quando isso não ocorre, a direção d^k pode ser de subida, para evitar esse problema, sugerimos a aproximação do sistema linear da matriz Hessiana, com B_k da forma $B_k d^k = \nabla^2 f(x^k) + \rho_k I$, de forma que se torne definida positiva. Esse método é chamado de método de Newton modificado. Neste estudo usamos a referência (WRIGHT; NOCEDAL, 1999).

Apresentamos agora o algoritmo do método de Newton modificado que é usado em

testes, e comparado com outros métodos nas próximas seções.

Algoritmo 4: MÉTODO DE NEWTON MODIFICADO COM BUSCA LINEAR ARMIJO

Entrada: $x_0, \epsilon > 0$
Saída: $x^* = x^k$ ótimo

```

1 início
2   Faça  $k \leftarrow 0$ 
3   while  $\|\nabla f(x^k)\| > \epsilon$  do
4     Faça  $B_k \leftarrow \nabla^2 f(x^k) + \rho_k I$ , com  $\rho_k > 0$ , de forma que  $B_k$  seja definida
       positiva.
5     Fatore  $B_k$  e resolva  $B_k d^k = -\nabla f(x^k)$ .
6     Faça  $x^{k+1} \leftarrow x^k + t_k d^k$ , sendo  $t_k$  calculado usando backtracking com Armijo.
7   end
8   Faça  $k \leftarrow k + 1$  e volte a linha 3.
9 fim
10 retorna  $x^* = x^k$  ótimo

```

Existem várias maneiras de se encontrar ρ_k , apresentamos algumas delas a seguir.

Primeira estratégia.

Algoritmo 5: ESTRATÉGIA 1

```

1 Faça  $\rho_k = 0$ 
2 while  $B_k$  não é definida positiva do
3   if  $\rho_k = 0$  then
4      $\rho_{k+1} = \rho_{min}$ ,  $\rho_{min} > 0$ 
5   else
6      $\rho_{k+1} = 2\rho_k$ 
7   end
8 end

```

Segunda estratégia.

Algoritmo 6: ESTRATÉGIA 2

```

1 Faça  $\rho_k = 0$ 
2 if  $\lambda_{min} > 0$  then
3    $B = A$ 
4 end
5 if  $\lambda_{min} \leq 0$  then
6    $B = A + (\epsilon - \lambda_{min})I$ ,  $\epsilon > 0$ 
7 end

```

Terceira estratégia.

Algoritmo 7: ESTRATÉGIA 3

```
1 Faça  $\rho_{k+1} = \frac{\rho_k}{7}$ 
2 while  $B_k$  não é definida positiva do
3   if  $\rho_k = 0$  then
4      $\rho_{k+1} = \rho_{min}, \rho_{min} > 0$ 
5   else
6      $\rho_{k+1} = 2\rho_k$ 
7   end
8 end
```

No algoritmo implementado do método de Newton modificado usa-se $\rho_{min} = 0.1$ e $\epsilon = 0.1$.

Uma maneira para verificar se a matriz B_k é definida positiva, é usando a decomposição de Cholesky, pois esta só existe se a matriz é definida positiva.

5 Comparação entre Algoritmos

Para comparações entre os métodos usamos o gráfico Perfil de Desempenho, com relação ao tempo computacional e a quantidade de avaliações de funções, e empregamos os problemas do CUTEst, usando problemas com até 100 variáveis. Para entender o gráfico Perfil de Desempenho utilizamos das seguintes referências (RIBEIRO; KARAS, 2013) e (BIRGIN; CASTILLO; MARTÍNEZ, 2005). Comparamos o método de Newton modificado com os métodos: Newton “puro” e BFGS com busca de Armijo. Também comparamos o método de Newton modificado entre as três diferentes estratégias de atualização utilizadas.

Nas Figuras (1) e (2) analisamos a comparação entre as três estratégias propostas. A terceira estratégia apresentou resultado melhor em termos de avaliação de funções, porém a segunda estratégia se aproxima. Já em relação ao tempo computacional o desempenho se mantém. A segunda estratégia que usamos que precisa do cálculo do menor autovalor da matriz Hessiana se apresenta resultado pior comparado com a estratégia 1 e o BFGS, porque para calcular autovalores precisa de maior tempo computacional e espaço de memória.

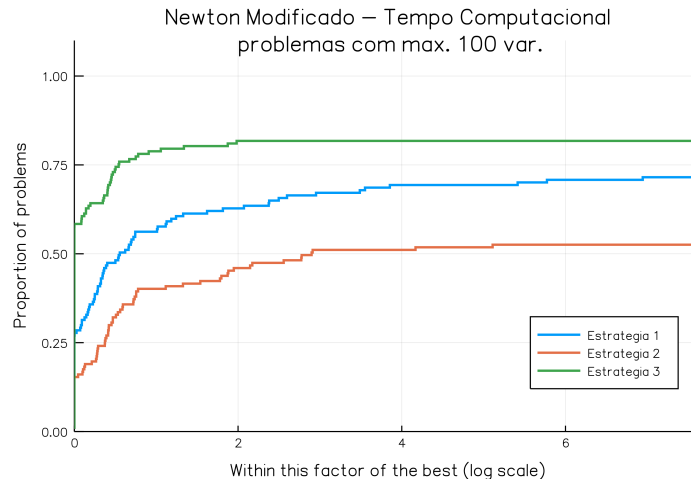


Figura 1 – Relação ao tempo computacional.

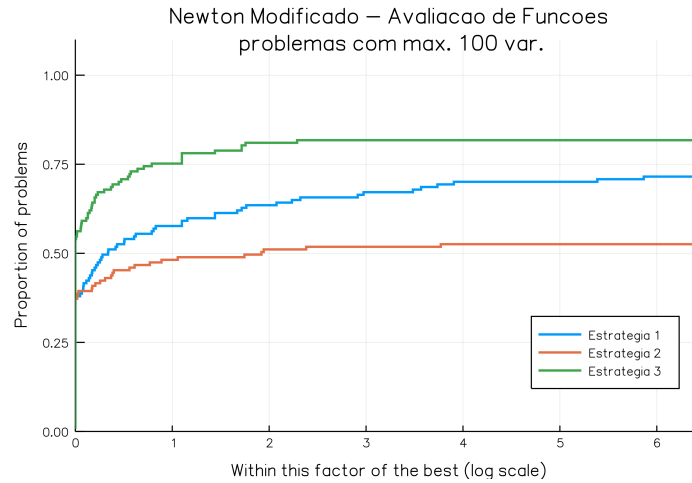


Figura 2 – Relação ao número de avaliações de funções.

Em comparação com o método de Newton “Puro”, as três estratégias apresentam um desempenho melhor tanto com relação a robustez quanto a eficiência (ver nas Figuras (3) e (4)). Quando vamos aumentando o número de problemas com mais variáveis, até 100, o Newton “Puro” apresenta piora no desempenho.

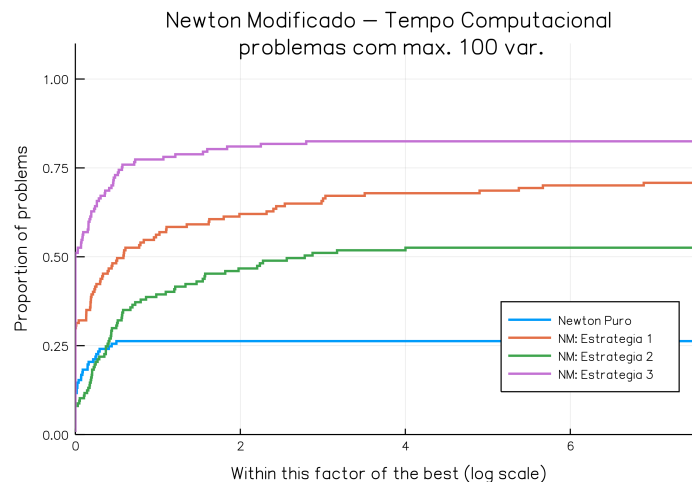


Figura 3 – Relação ao tempo computacional.

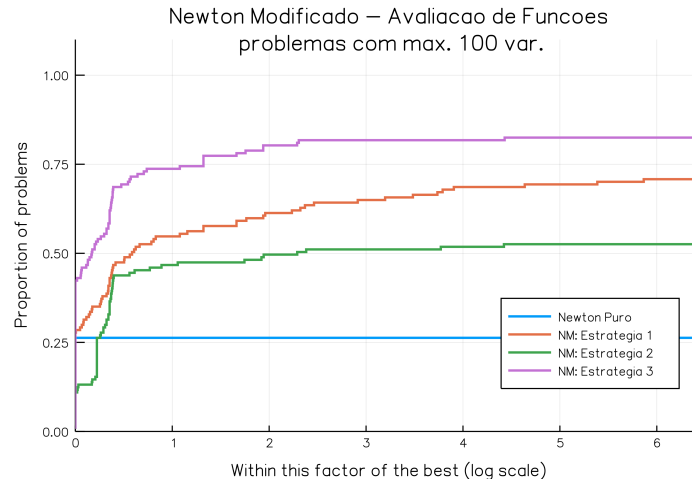


Figura 4 – Relação ao número de avaliações de funções.

Analisando os métodos junto com o método BFGS, verificamos que o BFGS se apresentou melhor com relação a robustez. Apesar de ser melhor em relação a avaliação de funções e pior ao tempo computacional. Isso vemos nas Figuras (5) e (6).

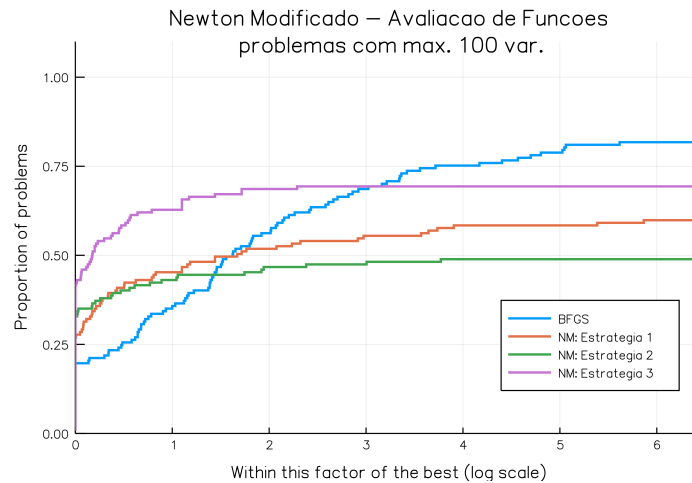


Figura 5 – Relação ao tempo computacional.

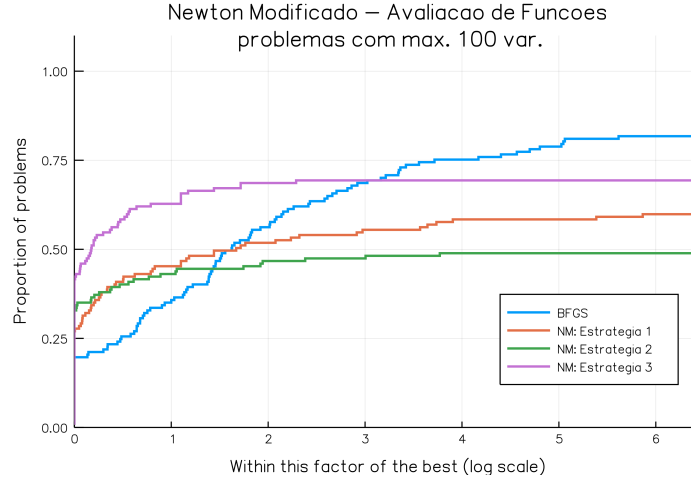


Figura 6 – Relação ao número de avaliações de funções.

Apesar dos métodos de BFGS e Newton modificado com as três estratégias sejam um dos métodos que mais demoram em resolver os problemas, e terem menos avaliações de funções, entre os métodos comparados, estes métodos resolvem mais problemas na prática.

6 Conclusão

O trabalho propôs a implementação do método de Newton modificado, entender o método de Newton com as possíveis mudanças com Armijo e o modificação na Hessiana. Com as análises feitas com o programa Julia na Seção 5, concluímos que o método de Newton modificado, ficou em segundo lugar entre os métodos comparados usando a terceira estratégia, analisando a robustez e a eficiência. Por causa do cálculo do menor autovalor da matriz Hessiana, a segunda estratégia no método de Newton modificado não apresentou melhor resultado entre as estratégias.

Ainda obtemos que os métodos BFGS e Newton modificado resolvem mais problemas na prática, mas demandam de maior tempo computacional para resolvê-los. O método de Newton modificado apresentou melhor desempenho que o Newton “Puro”, porque resolve mais problemas apesar de usar maior tempo computacional e avaliação de funções.

Assim, caso se queira maior resolução de problemas aconselhamos optar pelo método BFGS, e quando for necessário resolver alguns problemas em tempo mais rápido parece mais adequado usar o método de Newton Modificado. Apesar disso, podemos ajustar o BFGS para ficar mais rápido, sendo mais eficiente. Mas isso depende dos problemas que se desejam resolver e do objetivo.

Para os próximos passos, consideramos fazer a melhoria nos parâmetros de Armijo α , de Backtracking σ , e também a procura de outras estratégias para o ρ_k .

Referências

- ATTUX, R.; ZUBEN, F. V. *Métodos de otimização paramétrica não-linear irrestrita*. 2017. Disponível em: <ftp://ftp.dca.fee.unicamp.br/pub/docs/vonzuben/ia353_1s07/topico6_07comp2.pdf>. Citado na página 7.
- BIRGIN, E. G.; CASTILLO, R.; MARTÍNEZ, J. M. Numerical comparison of augmented lagrangian algorithms for nonconvex problems. *Computational Optimization and Applications*, Springer, v. 31, n. 1, p. 31–55, 2005. Citado na página 12.
- FIEDLER, M. *Special matrices and their applications in numerical mathematics*. [S.l.]: Courier Corporation, 2008. Nenhuma citação no texto.
- GOLUB, G. H.; LOAN, C. F. V. *Matrix computations*. [S.l.]: JHU Press, 2012. v. 3. Citado na página 1.
- RIBEIRO, A. A.; KARAS, E. W. Otimização contínua: aspectos teóricos e computacionais. *Sao Paulo: Cengage Learning*, 2013. Citado na página 12.
- RONCHI, C. H. V. *Estudo matemático do reconhecimento de carecteres*. 43 f. Monografia — Universidade Federal do Paraná, Curitiba, 2017. Citado na página 7.
- RUGGIERO, M. A. G.; LOPES, V. L. d. R. *Cálculo numérico: aspectos teóricos e computacionais*. [S.l.]: Makron Books do Brasil, 1997. Citado na página 1.
- TSUMURA, Y. *Positive definite Real Symmetric Matrix and its Eigenvalues*. 2017. Disponível em: <<https://yutsumura.com/positive-definite-real-symmetric-matrix-and-its-eigenvalues/>>. Citado na página 1.
- WATKINS, D. S. *Fundamentals of matrix computations*. John Wiley & Sons, 2004. v. 64. Disponível em: <https://davidtabora.files.wordpress.com/2015/01/david_s-_watkins_fundamentals_of_matrix_computat.pdf>. Citado na página 1.
- WRIGHT, S.; NOCEDAL, J. Numerical optimization. *Springer Science*, v. 35, n. 67-68, p. 7, 1999. Citado na página 10.

Anexo

Códigos das implementações usadas no Método de Newton Modificado.

Decomposição de Cholesky $A = GG^T$

```
1 function decomp_cholesky(A:Matrix; tol = 1e-6)
2     n = size(A)[1]
3     G = zeros(size(A))
4     for k in 1:n
5         soma = 0
6         for j in 1:k-1
7             soma += G[k, j]^2
8         end
9         if ((A[k,k] - soma) < tol)
10             return G, :falha
11         else
12             g = A[k,k] - soma
13         end
14         G[k, k] = sqrt(g)
15         for i in (k + 1):n
16             soma = 0
17             for j in 1:(k - 1)
18                 soma += G[i, j] * G[k, j]
19             end
20             G[i, k] = (A[i,k] - soma) / G[k, k]
21         end
22     end
23     return G, :sucesso
24 end
```

Método de Newton Puro

```
1 function newton_puro(nlp;
2     tol_abs = 1e-8,
3     tol_rel = 1e-6,
4     max_time = 60.0,
5     max_evals = 10000)
6     f(x) = obj(nlp, x)
7     g(x) = grad(nlp, x)
8     H(x) = Symmetric(hess(nlp, x), :L)
9     x = copy(nlp.meta.x0)
10
11     tempo_0 = time()
```

```

12     Δt = time() - tempo_0
14     fx = f(x)
15     gx = g(x)
16
17     normgx = norm(gx)
18     ε = tol_abs + normgx * tol_rel
19
20     exitflag = :desconhecido
21     sucesso = normgx < ε
22     cansado = Δt > max_time || sum_counters(nlp) > max_evals
23
24     while !(sucesso || cansado)
25         local G
26         try
27             G = chol(H(x))
28         catch ex
29             if isa(ex, LinAlg.PosDefException)
30                 exitflag = :nao_eh_pos_def
31             else
32                 # Erro desconhecido
33                 exitflag = :excecao
34             end
35             break
36         end
37         d = -( G \ (G' \ gx) )
38         x = x + d
39         gx = g(x)
40         normgx = norm(g(x))
41
42         Δt = time() - tempo_0
43         sucesso = normgx < ε
44         cansado = Δt > max_time || sum_counters(nlp) > max_evals
45     end
46     if sucesso
47         exitflag = :sucesso
48     elseif cansado
49         if Δt > max_time
50             exitflag = :max_time
51         else
52             exitflag = :max_evals
53         end
54     end
55
56     return x, f(x), normgx, Δt, sum_counters(nlp), exitflag
57 end

```

Método BFGS com Busca Linear Inexata

```

1 function bfgs_busca_linear(nlp;
2     tol_abs = 1e-8,
3     tol_rel = 1e-6,

```

```

5         armijo_param = 0.5,
6         backtrack_param = 0.5,
7         max_time = 60.0,
8         max_evals = 10000)
9
10    f(x) = obj(nlp, x)
11    g(x) = grad(nlp, x)
12
13
14    x = copy(nlp.meta.x0)
15    n = length(x)
16
17    H = eye(n)
18
19    tempo_0 = time()
20    Δt = time() - tempo_0
21
22    fx = f(x)
23    gx = g(x)
24
25    normgx = norm(gx)
26    ε = tol_abs + normgx * tol_rel
27
28    exitflag = :desconhecido
29    sucesso = normgx < ε
30    cansado = Δt > max_time || sum_counters(nlp) > max_evals
31
32    while !(sucesso || cansado)
33        d = -H * gx
34        t = 1.0
35        xt = x + d
36        ft = f(xt)
37        prodint = dot(d, gx)
38        # Devemos ter  $d^T \nabla f(x) < 0$ 
39        if prodint ≥ 0
40            exitflag = :direcao_nao_descida
41            break
42        end
43        while !(ft < fx + armijo_param * t * prodint)
44            t = t * backtrack_param
45            xt = x + t * d
46            ft = f(xt)
47            if t < 1e-20
48                exitflag = :passo_muito_pequeno
49                break
50            end
51        end
52        end
53        if exitflag != :desconhecido
54            break
55        end
56
57        x .= xt
58        fx = ft
59        gt = g(xt)
60
61        y = gt - gx
62        yTs = t * dot(y, d)
63        if yTs > 0
64            ρ = 1 / yTs
65            M = eye(n) - t * ρ * d * y'
66            H = M * H * M' + (t^2 * ρ) * d * d'
67        end

```

```

65         gx .= gt
        normgx = norm(g(x))
67
        Δt = time() - tempo_0
69         sucesso = normgx < ε
        cansado = Δt > max_time || sum_counters(nlp) > max_evals
71     end
73     if sucesso
        exitflag = :sucesso
75     elseif cansado
        if Δt > max_time
77             exitflag = :max_time
        else
79             exitflag = :max_evals
        end
81     end
83     return x, f(x), normgx, Δt, sum_counters(nlp), exitflag
end

```

Método de Newton Modificado

```

function newton_modificado(nlp;
2         strategy = 1,
3         tol_abs = 1e-8,
4         tol_rel = 1e-6,
5         max_time = 60.0,
6         max_evals = 10000,
7         armijo_param = 0.1,
8         backtrack_param = 0.5,
9         ρmin = 0.1)
10     f(x) = obj(nlp, x)
11     g(x) = grad(nlp, x)
12     H(x) = Symmetric(hess(nlp, x), :L)
14
15     x = copy(nlp.meta.x0)
16     n = nlp.meta.nvar
18
19     tempo_0 = time()
20     Δt = time() - tempo_0
22
23     fx = f(x)
24     gx = g(x)
26
27     normgx = norm(gx)
28     ε = tol_abs + normgx * tol_rel
30
31     exitflag = :desconhecido
32     sucesso = normgx < ε
33     cansado = Δt > max_time || sum_counters(nlp) > max_evals

```

```

30   $\rho = 0$ 
31  while !(sucesso || cansado)
32      Hx = H(x)
33      if strategy == 1
34           $\rho = 0$ 
35          Bk = Hx +  $\rho$  * eye(n)
36          eh_pos_def = false
37          while eh_pos_def == false
38              if  $\rho == 0$ 
39                   $\rho = \rho_{\min}$ 
40              elseif  $\rho > 0$ 
41                   $\rho = 2 * \rho$ 
42              end
43              Bk = Hx +  $\rho$  * eye(n)
44              G, status = decomp_cholesky(Bk)
45              if status == :sucesso
46                  eh_pos_def = true
47              else
48                  eh_pos_def = false
49              end
50          end
51      elseif strategy == 2
52          eh_pos_def = false
53          k = 0
54          mu_menor = eigmin(full(Hx))
55          if mu_menor > 0
56               $\rho = 0.0$ 
57          else
58              eps = 0.1
59               $\rho = \text{eps} - \text{mu\_menor}$ 
60          end
61
62          if  $\rho > 100$ 
63              exitflag = : $\rho$ _grande_Hessiana_mal_condicionada
64          end
65
66          Bk = Hx +  $\rho$  * eye(n)
67          G, status = decomp_cholesky(Bk)
68          if status == :sucesso
69              eh_pos_def = true
70          else
71              eh_pos_def = false
72          end
73      elseif strategy == 3
74           $\rho = \rho / 7$ 
75          Bk = Hx +  $\rho$  * eye(n)
76          eh_pos_def = false
77          while eh_pos_def == false
78              if  $\rho == 0$ 
79                   $\rho = \rho_{\min}$ 
80              elseif  $\rho > 0$ 
81                   $\rho = 2 * \rho$ 
82              end
83
84              Bk = Hx +  $\rho$  * eye(n)
85              G, status = decomp_cholesky(Bk)
86              if status == :sucesso
87                  eh_pos_def = true
88              else

```

```

90         eh_pos_def = false
91     end
92 end
93
94 d = - ( G' \ (G \ gx) )
95 t = 1.0
96 xt = x + d
97 ft = f(xt)
98 gx = g(x)
99 normgx = norm(gx)
100 prodint = dot(d,gx)
101
102 # Devemos ter  $d^T f(x) < 0$ 
103 if prodint ≥ 0
104     exitflag = :direcao_nao_descida
105     break
106 end
107 while !(ft < fx + armijo_param * t * prodint)
108     t = t * backtrack_param
109     xt = x + t * d
110     ft = f(xt)
111     if t < 1e-20
112         exitflag = :passo_muito_pequeno
113         break
114     end
115 end
116 if exitflag != :desconhecido
117     break
118 end
119
120 x = xt
121 fx = ft
122
123 gx = g(x)
124 normgx = norm(gx)
125
126 Δt = time() - tempo_0
127 sucesso = normgx < ε
128 cansado = Δt > max_time || sum_counters(nlp) > max_evals
129 end
130
131 if sucesso
132     exitflag = :sucesso
133 elseif cansado
134     if Δt > max_time
135         exitflag = :max_time
136     else
137         exitflag = :max_evals
138     end
139 end
140
141 return x, f(x), normgx, Δt, sum_counters(nlp), exitflag
142 end

```